

02
© 1992 г.

ЭЛЕКТРОН-ИНДУЦИРОВАННАЯ ФЛЮОРЕСЦЕНЦИЯ КЛАСТЕРОВ

A. A. Востриков, B. P. Гилева, D. Ю. Дубов

Методом пересекающихся пучков кластеров и электронов впервые исследовано влияние кластеров $(CO_2)_N$, $(N_2O)_N$ и $(H_2O)_N$ на интенсивность электрон-индукционной флюоресценции в ультрафиолетовой и видимой областях спектра, а также вылета из кластеров электронно-возбужденных частиц с энергией $E \geq 4$ эВ. Получены зависимости вероятности эжекции из кластеров электронно-возбужденных частиц и излучения частиц, возбужденных в кластерах, от среднего размера кластеров \bar{N} . Обнаружено усиление электрон-индукционного излучения кластерами размером $\bar{N} < 15$ молекул.

Введение

Электронные пучки широко используются для диагностики сверхзвуковых потоков разреженного газа. Например, по параметрам излучения газа, возбуждаемого электронами, удается получить широкий набор данных о внутреннем состоянии молекул и газодинамических характеристиках потока [1]. Однако при сверхзвуковом расширении газа из-за быстрого понижения температуры часто неконтролируемо возникают метастабильные частицы конденсированной фазы — кластеры. С увеличением расхода газа при фиксированной температуре газа в сопловом источнике вместе с образованием кластеров в потоке начинается устойчивый рост размера кластеров. Процесс переходит в стадию развитой конденсации [2]. В этих условиях использование электронно-пучкового метода становится проблематичным. Это связано с отсутствием необходимых данных как о механизме, так и величине вклада кластеров в электрон-индукционную флюоресценцию. Несмотря на это, электронно-пучковый метод используется для диагностики потоков разреженного газа с кластерами [3—6]. При этом делаются самые противоречивые предположения о вкладе кластеров в измеряемое излучение. Так, в работе [5] из сравнения измерений плотности на оси свободной струи CO_2 по интенсивности оптического излучения $CO_2^+ (B^2 \Sigma_u^+ \rightarrow \tilde{X}^2 \Pi_g)$ и рентгеновского излучения сделан вывод о том, что кластеры не дают вклад в оптическое излучение. В более поздней работе [6], напротив, утверждается, что молекулы CO_2 , связанные в кластерах, дают такой же вклад в электрон-индукционную флюоресценцию, как и свободные молекулы. В аналогичных измерениях в кластерированном пучке N_2 в работе [4] зарегистрировано уменьшение относительной интенсивности флюоресценции $N_2^+ (B^2 \Sigma_u^+)$, т.е. кластеры вносили вклад в излучение, но не пропорционально доле молекул в кластерах.

В настоящей работе впервые прямыми измерениями электрон-индукционной флюоресценции из кластерированных пучков CO_2 , N_2O и H_2O установлено, что кластеры дают вклад в излучение. Этот вклад зависит от размера кластеров и, по-видимому, главным образом обусловлен процессом эжекции электронно-возбужденных молекул из кластеров [7—10].

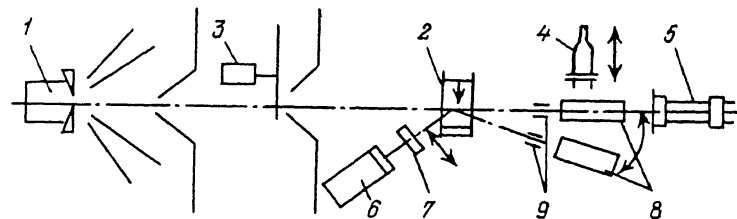


Рис. 1. Схема эксперимента.

Методика эксперимента

Эксперименты проведены на генераторе молекулярного пучка [2]. Молекулярные и кластированные пучки N_2O , CO_2 и H_2O формировались из центральной трубки тока сверхзвуковой струи за звуковым соплом диаметром $d_* = 1$ мм. Расстояние между соплом и скиммером было $x/d_* = 100$. Использовался конический скиммер с углом раскрытия $40^\circ \times 45^\circ$, длиной 120 мм и диаметром входного отверстия $d_* = 3.5$ мм. Сопловой источник 1 (рис. 1) термостатировался. Температура газа в источнике при работе с CO_2 была $T_0 \approx 280$ К, для N_2O $T_0 = 290$ К. Пары воды расширялись из перегретого состояния $T_0 \approx 440$ К. Параметры пучка изменялись путем изменения давления P_0 в сопловом источнике. При этом с увеличением давления в струе происходило увеличение плотности зародышей конденсации, а затем начинался рост кластеров, который приводил к росту измеряемой интенсивности пучка. Средний размер кластеров \bar{N} в пучке был измерен методом задерживающего потенциала [11].

Возбуждение молекул и кластеров в пучке осуществлялось пучком электронов. Источником электронов служила электронная пушка с оксидным катодом 2; ток поддерживался на уровне 20 мА, энергия электронов $E_e = 90$ эВ.

Все величины, связанные с пучком, регистрировались методом фазочувствительного детектирования при модуляции пучка механическим прерывателем 3. Интенсивность пучка J и плотность компонентов пучка I_i^+ измерялись манометрической ионизационной лампой типа ПМИ-2 4 и масс-спектрометром динамического типа 5 соответственно. Все датчики были установлены на координатных устройствах и в ходе эксперимента могли поочередно перемещаться на пучок. Излучение регистрировалось фотоэлектронным умножителем типа ФЭУ-39А 6. Входное окно ФЭУ было покрыто тонким слоем люминофора (салцилатом натрия). Чтобы качественно разделить ультрафиолетовое I_{uf} и видимое I_v излучения, в каждой измеряемой точке перед ФЭУ устанавливалось обычное оконное стекло 7. Расстояние от области пересечения пучка электронов с пучком частиц до окна и динода ФЭУ было соответственно 60 и 80 мм. Доля видимого излучения, которое попадало на ФЭУ, составляла 0.1 % от полного. Доля УФ излучения на ФЭУ из-за переизлучения люминофором ~ 0.01 %. Электронно-возбужденные частицы регистрировались вторичным электронным умножителем типа ВЭУ-2Г 8. Расстояние от места образования возбужденных частиц до ВЭУ было 200 мм. Очевидно, что сигнал ВЭУ I^* могли вызывать только те частицы, энергия возбуждения которых была выше работы выхода электрона с динода ВЭУ (> 4 эВ). С помощью координатного устройства ВЭУ мог устанавливаться на пучок и под углом 17° к оси пучка. Расходимость пучка на входе в ВЭУ не превышала 1 мм. Поэтому на ВЭУ, установленный под углом к оси молекулярного пучка, могли попадать только фрагменты молекул и кластеров, образовавшихся после взаимодействия частиц в пучке с электронами и вылетевшие из пучка. Для предотвращения попадания на ВЭУ ионов перед ВЭУ установлены электроды 9, на которые подавалось задерживающее напряжение. Ток электронно-возбужденных частиц на ВЭУ, установленный под углом, ниже обозначен I_α^* , а для ВЭУ,

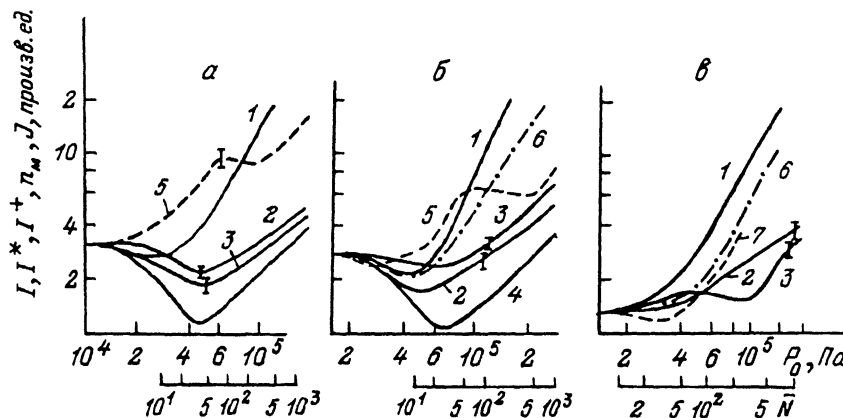


Рис. 2. Зависимости интенсивности J (1), интенсивности излучения в видимой \tilde{I}_B (2) и УФ- \tilde{I}_{UF} (3) областях спектра, расчетной плотности мономерной компоненты n_m пучка (4), плотности электронно-возбужденных частиц I_{α}^* (5), вылетевших из пучка, токов мономеров N_2O^+ , H_2O^+ (6, 7) от P_0 и \bar{N} для CO_2 — (а), N_2O — (б), H_2O — (в).

стоящего вдоль пучка, — $I_{||}^*$.

Результаты и их обсуждение.

На рис. 2 приведены зависимости интенсивности пучка (плотности потока молекул в пучке) J (кривая 1), интенсивности излучения I_B (кривая 2) и I_{UF} (кривая 3) от давления P_0 и среднего размера кластеров \bar{N} . Здесь же приведены зависимости рассчитанной в [12] плотности мономерных компонент в пучке n_m (кривая 4) и плотности метастабильных электронно-возбужденных частиц I_{α}^* (кривая 5) от P_0 и \bar{N} .

Кроме этого, на рис. 2 приведены токи I^+ ионов N_2O^+ (кривая 6) и H_2O^+ (кривые 6, 7), образовавшихся после ионизации частиц пучка в ионизационном источнике масс-спектрометра при бесстолкновительном пролете пучка через ионный источник (кривая 6 получена при $E_e = 90$ эВ, а кривая 7 — при 20 эВ) в зависимости от P_0 и \bar{N} . Все кривые совмещены при значениях давления P_0 , когда конденсации в струе еще нет.

Заметим, что при расширении без конденсации I^* , \tilde{I} и $I^+ \sim n \sim P_0$. После нормировки на относительное изменение плотности было получено $\tilde{I}_B(CO_2)$: $\tilde{I}_B(N_2O)$: $\tilde{I}_B(H_2O) = 4.9:1:0.06$; $\tilde{I}_{UF}(CO_2)$: $\tilde{I}_{UF}(N_2O)$: $\tilde{I}_{UF}(H_2O) = 2:1:0.48$. Следовательно, в расчете на молекулу наибольшую интенсивность электрон-индукционной флюоресценции дают молекулы CO_2 , а минимальную — молекулы воды. Это, по-видимому, связано с тем, что для углекислоты и закиси азота основным источником излучения являются ионы CO_2^+ и N_2O^+ , а для воды — ее нейтральные фрагменты H и OH . Известно, что в спектре электрон-индукционного излучения CO_2 нет полос, принадлежащих нейтральной молекуле. В ближней ультрафиолетовой и видимой областях спектра основным источником излучения являются полосы иона CO_2^+ [13]. Одна из полос — это переход $\tilde{B}^2\Sigma_u^+ \rightarrow \tilde{X}^2\Pi_g$ с двумя максимумами почти одинаковой интенсивности излучения при 2882 и 2896 Å. Вторая полоса,

вернее развитая система полос, известная под названием системы Фокса-Даффендаака—Баркера, — это переход $\tilde{A}^2\Pi_u \rightarrow \tilde{X}^2\Pi_g$ с эмиссией в диапазоне приблизительно от 3100 до 4200 Å. Время жизни состояния $\tilde{B}^2\Sigma_u$ и $\tilde{A}^2\Pi_u$ порядка 10^{-7} с.

Электрон-индукционная флюоресценция молекул N₂O в газовой фазе также связана в основном с излучением иона N₂O⁺. Вклад продуктов диссоциативной ионизации NO^{++*} и N₂^{++*} менее значителен. Наиболее интенсивная полоса NO₂⁺ $\tilde{A}^2\Sigma^+ \rightarrow \tilde{X}^2\Pi$ находится на границе УФ и видимой областей спектра [14].

Относительно слабая интенсивность индуцированной флюоресценции молекул воды связана с тем, что в спектре паров воды не наблюдалось полос, принадлежащих нейтральной и ионизированной молекуле H₂O. Излучение молекул H₂O в основном связано с продуктами диссоциации — Н и OH. При этом атом водорода излучает в УФ и видимой областях — это серии Лаймана и Бальмера, а у радикала OH наиболее интенсивный излучательный переход $A^2\Sigma^+ \rightarrow X^2\Pi$ (менее интенсивный $C^2\Sigma^+ \rightarrow A^2\Sigma^+$) в областях 2100—3600 Å [15].

Для того чтобы выделить вклад кластеров в величину интенсивности излучения и плотности вылетевших из пучка электронно-возбужденных частиц, необходимо вычесть плотность мономеров n_m из величин $I_{\text{УФ}}$, I_b , I^* . В этом случае получим значения $\tilde{I}_{\text{УФ},k}$, $\tilde{I}_{b,k}$, I_k^* для кластерной компоненты в пучке. На рис. 2 видно, что кластеры дают вклад в излучение и величина этого вклада зависит от размера кластеров. Зависимости $\tilde{I}_{\text{УФ}}$, \tilde{I}_b , I^+ и I_α^* от \bar{N} качественно совпадают.

При диагностике электронно-пучковым методом потоков разреженного газа в работах [3—6] не обнаружено изменений в спектре флюоресценции при переходе к расширению с конденсацией. Это, по нашему мнению, указывает на то, что электронно-возбужденные частицы не излучают из кластеров. В противном случае это отразилось бы на ширине и положении линий в спектре излучения. Однако существует процесс, при котором без изменения спектра кластеры дают вклад в интенсивность излучения. Это процесс эжекции электронно-возбужденных частиц из кластеров с последующим излучением в свободном состоянии.

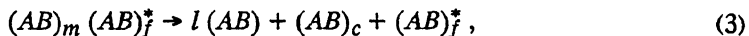
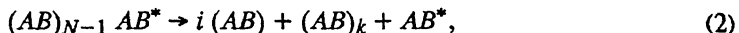
Впервые вывод о существовании процесса эжекции электронно-возбужденных молекул из кластеров был сделан из результатов масс-спектрометрических измерений в кластерированном пучке N₂O в [7], где наблюдали увеличение вероятности появления иона N₂O⁺ с ростом размера кластеров. Подробно возможные механизмы эжекции обсуждались в [8] при анализе результатов измерения сечений образования положительных и отрицательных кластерных ионов при взаимодействии кластеров (CO₂)_N, (N₂O)_N и (H₂O)_N с электронами в пересекающихся пучках. Отметим, что наряду с эжекцией молекулярных ионов был обнаружен вылет микрокластерных ионов (N₂O)₂⁺ и H⁺(H₂O)_N ≤ 3 [9, 10], что объяснялось процессом образования экситонов и сверхвозбужденных молекул в кластерах при электронном ударе, их эжекцией из кластеров и последующим распадом с образованием заряженных молекул, их фрагментов и микрокластерных ионов. При этом предполагалось, что эжектирующей силой является электронно-обменное отталкивание, возникающее между возбужденной частицей и ее окружением в кластере.

В целом результаты наших исследований образования ионов разного знака и состава при столкновении кластеров с электронами показали, что, по-видимому, имеют место следующие процессы:



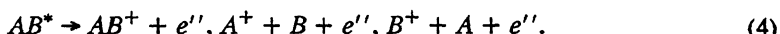
где $m+f=N$, AB^* — молекула в сверхвозбужденном (включая ридберговское) состоянии [16, 17], $(AB)^*$ — некоторое коллективное электронно-возбужденное состояние.

Далее происходит эжекция возбужденных частиц из кластеров

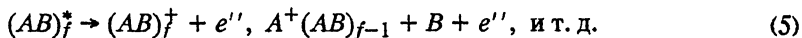


где i и l — число молекул, испарившихся с кластера; $i + k = N - 1$, $l + c + f = N$.

При вылете (время жизни сверхвозбужденного состояния в кластере может быть сравнимо с временем вылета) из кластеров возбужденные молекулы дезактивируют по каналам, характерным для изолированных молекул, находящихся в данном электронно-возбужденном состоянии. Например,



Для возбужденных комплексов, по-видимому, имеет место



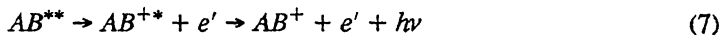
Наряду с процессами (4), (5) наблюдалась полярная ионизация с эжекцией положительного иона [8, 11]



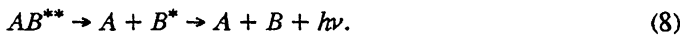
В этом случае имеют место отрыв электрона и захват его в кластере. Захват электрона обусловлен положительной энергией сродства тепловых электронов к кластерам и резким увеличением сечения захвата с ростом размера кластеров [8, 11, 18]. Процесс (6), по-видимому, аналогичен процессу перезарядки с ридберговских атомов [19]. Здесь важно то, что эжектируются положительные ионы.

Отметим также результаты прямых и косвенных наблюдений эжекции частиц из кластеров в других работах. В [20] непосредственно наблюдали вылёт молекул H_2O и NH_3 из чистого льда и в смеси с аммиаком ($T = 90$ — 130 К) при электронном возбуждении этих молекул ниже порога ионизации лазерным излучением. Авторы работы [21] из спектроскопических измерений сделали вывод об эжекции эксимерных молекул Kr_2^* из кластеров $Kr_{N \leq 50}$ при возбуждении их синхротронным излучением. Аналогичный вывод сделан в [22] из анализа спектров излучения из струи с кластерами Ar и Kr при электронном возбуждении. Используя метод пространственно-временной спектроскопии, в [23] установили, что при испарении кремния излучением импульсного KrF лазера образуются возбужденные кластеры, которые фрагментируются в основном путем эжекции нейтральных и заряженных электронно-возбужденных атомов Si .

По-видимому, в случае электрон-индукционной флюоресценции кластеров источником излучения также являются сверхвозбужденные молекулы, вылетающие (или вылетевшие) из кластеров, в реакциях (1)—(3). Распад сверхвозбужденного состояния может происходить, в частности, путем автоионизации с выходом молекулярного иона и эмиссией фотона (для CO_2 и N_2O)



либо диссоциацией с образованием излучающих фрагментов (для H_2O)



Отметим еще два процесса, которые в принципе могут приводить к вылету из кластеров излучающих частиц: испарение кластеров и кулоновское расталкивание одноименных зарядов в случае многократной ионизации кластера электроном [21]. Однако эти процессы в нашем случае не являются основными. Дело в том, что с увеличением размера кластеров вероятность испарения и выхода ионов уменьшалась бы из-за увеличения необходимой для испарения энергии. Согласно расчетам [25], потери энергии электрона в кластере при наших значениях $E_e \approx 100$ эВ недостаточны для испарения кластера размером $N > 50$. Возможный

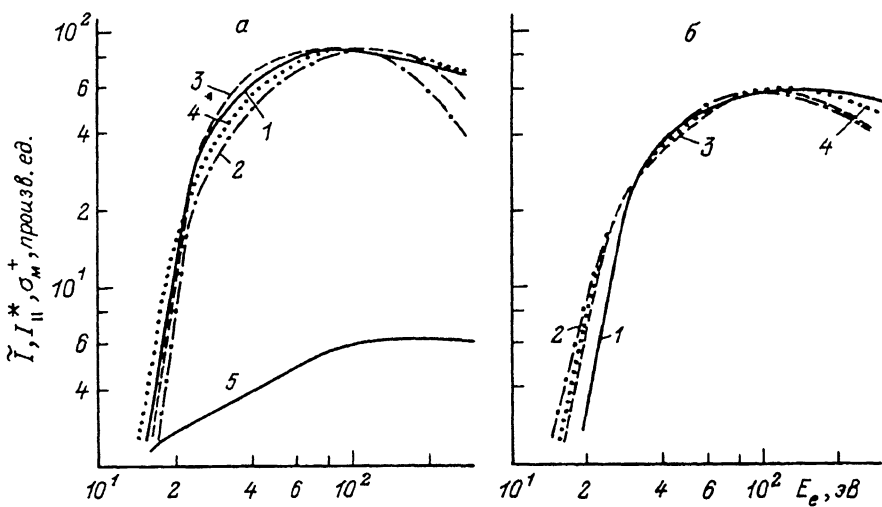


Рис. 3. Зависимости интенсивности излучения кластерированного пучка в видимой $T_{\text{в}}$ (1) и УФ $\tilde{T}_{\text{УФ}}$ (2) областях спектра и излучения мономолекулярного пучка $\tilde{T}_{\text{м}}$ (3), сечения ионизации молекул σ_m^+ (4), плотности возбужденных частиц $N_2O \cdot k'$ (5) в кластерированном пучке от E_e для N_2O — (а), CO_2 — (б).

вклад в эжекцию молекулярных ионов эффекта кулоновского расталкивания был нами исключен путем уменьшения энергии ионизующих электронов E_e до 20 эВ, т. е. ниже порога двукратной ионизации. На рис. 2 видно, что при $E_e = 20$ эВ поведение зависимости тока H_2O^+ от \bar{N} (кривая 7) качественно не изменилось.

Итак, считая, что при возбуждении кластеров электронами основной вклад в интенсивность излучения дают частицы, эжектируемые из кластеров, найдем зависимости вероятности эжекции излучающих частиц из кластеров. В общем случае для интенсивности электрон-индукционной флюоресценции таких частиц можно записать

$$\tilde{I}_k \sim \sum_N \tilde{\varphi}_N \tilde{\sigma}_N N k_N , \quad (9)$$

где $\tilde{\varphi}_N$ — вероятность излучения частицей, возбужденной электронным ударом в кластере, или в предположении эжекции вероятность эжекции возбужденной частицы из кластера размером N , которая дает вклад в излучение; $\tilde{\sigma}_N$ — удельное (в расчете на одну молекулу в кластере) сечение образования такой частицы, нормированное на аналогичное сечение для изолированной молекулы в газовой фазе; k_N — число кластеров в пучке размеров N .

Используя формулу (9) и понятие среднего значения, получим выражение для средней величины вероятности эжекции излучающей частицы из кластера размером \bar{N}

$$\tilde{\varphi}(\bar{N}) = \tilde{I}_k(\bar{N}) / n_k(\bar{N}) \cdot \tilde{\sigma}(\bar{N}). \quad (10)$$

Здесь $\tilde{\sigma}(N)$ — среднее удельное сечение возбуждения излучающей частицы в кластере размером \bar{N} , нормированное на сечение возбуждения изолированной молекулы в газовой фазе; $n_k = \sum N \cdot k_N$ — плотность кластеров в пучке.

Результаты измерения и расчета функции распределения кластеров по размерам в пучке можно найти в [18, 26]. Пренебрегая незначительным увеличением скорости v частиц в пучке из-за выделения теплоты конденсации в струе

[26], можно положить

$$n = J/v - n_m. \quad (11)$$

На рис. 2 все кривые совмещены в области значений P_0 , где конденсации нет, тем самым исключены все постоянные, связанные с измерением интенсивности и плотности пучка. Поэтому величину $\bar{\varphi}$ можно найти по формуле

$$\bar{\varphi} = (\tilde{I} - n_m)/(J - n_m) \cdot \bar{\sigma}(\bar{N}), \quad (12)$$

используя зависимости \tilde{I} , J и n_m от $P_0(\bar{N})$ на рис. 2.

Аналогично для определения средней вероятности эжекции электронно-возбужденных частиц из кластеров размером \bar{N} , которые регистрировались ВЭУ, имеем

$$\bar{\varphi}^* = (I^* - n_m)/(J - n_m) \cdot \bar{\sigma}^*(\bar{N}). \quad (13)$$

Для вычисления $\bar{\varphi}(\bar{N})$ и $\bar{\varphi}^*(\bar{N})$ по формулам (12) и (13) необходимы еще сечения $\bar{\sigma}(\bar{N})$ и $\bar{\sigma}^*(\bar{N})$. Данные о сечениях $\bar{\sigma}(\bar{N})$ и $\bar{\sigma}^*(\bar{N})$ нам неизвестны. Однако определенные выводы о зависимости $\bar{\sigma}$ и $\bar{\sigma}^*$ от \bar{N} можно сделать из сравнения зависимостей интенсивности излучения кластированного пучка \tilde{I}_k , пучка молекул \tilde{I}_m и сечения ионизации молекул электронным ударом σ_m^+ от энергии электронов E_e . Эти зависимости приведены на рис. 3. Зависимости $\tilde{I}_b(E_e)$ (кривые 1) и $\tilde{I}_{uf}(E_e)$ (кривые 2) получены для кластированного пучка N_2O (а) при $\bar{N} = 200$ и CO_2 (б) при $\bar{N} = 600$. Кривые 3 — это зависимости интенсивности полного излучения $\tilde{I}_m(E_e) = \tilde{I}_{uf} + \tilde{I}_b$ от мономолекулярного пучка N_2O и CO_2 . Зависимости сечения ионизации $\sigma_m^+(E_e)$ молекул N_2O и CO_2 (4) взяты из [27]. Видно, что кривые \tilde{I}_{uf} , \tilde{I}_b , \tilde{I}_m на рис. 3 хорошо совпадают с зависимостью $\sigma_m^+(E_e)$. По-видимому, это следствие того, что основным источником излучения в нашем случае были электронно-возбужденные ионы. Поэтому можно предположить, что $\bar{\sigma}(\bar{N}) \sim \bar{\sigma}^+(\bar{N})$, и для определения $\bar{\varphi}(\bar{N})$ и $\bar{\varphi}^*(\bar{N})$ по формулам (12) и (13) использовать зависимости $\bar{\sigma}^+(\bar{N})$, полученные в [8, 11].

На рис. 3 приведена также зависимость $I_{||}^*(E_e)$ (кривая 5) для кластированного пучка N_2O ($\bar{N} = 200$). Сравнивая кривые \tilde{I}_{uf} и $I_{||}^*$, видим, что УФ-излучение не давало заметного вклада в сигнал ВЭУ. Поэтому вклад кластеров в сигнал ВЭУ, установленный под углом к мономолекулярному пучку, связывается нами только с долгоживущими электронно-возбужденными частицами, вылетевшими из кластеров.

На рис. 4, 5 приведены зависимости вероятностей $\bar{\varphi}_{uf}(1, 1', 1'')$, $\bar{\varphi}_b(2, 2', 2'')$ и $\bar{\varphi}^*(3, 3')$, найденных по формулам (12), (13), от P_0 , \bar{N} для кластеров N_2 и CO_2 соответственно. Кривые 1—3 получены в предположении, что удельные сечения $\bar{\sigma}$ и $\bar{\sigma}^* = const$, т. е. не зависят от числа молекул в кластере. Для кривых 1'—3' считали, что $\bar{\sigma}(\bar{N})$ и $\bar{\sigma}^*(\bar{N}) \sim \bar{\sigma}^+(\bar{N})$, и использовали результаты измерения абсолютных сечений $\bar{\sigma}^+(\bar{N})$ при $E_e = 100$ эВ из [11], т.е. учли уменьшение сечений $\bar{\sigma}(\bar{N})$ и $\bar{\sigma}^*(\bar{N})$ при увеличении размера кластеров. Видно, что введение поправки на зависимость сечения возбуждения от размера кластеров существенно не изменило характера кривых $\bar{\varphi}$ и $\bar{\varphi}^*$ от \bar{N} , приблизительно $\bar{\varphi}_{uf}$ и $\bar{\varphi}_b \sim \bar{N}^{-0.75}$.

При вычислении $\bar{\varphi}$ и $\bar{\varphi}^*$ от \bar{N} по формулам (12) и (13) использованы расчетные зависимости плотности мономеров в пучке с кластерами $n_m(P_0)$ (кривые

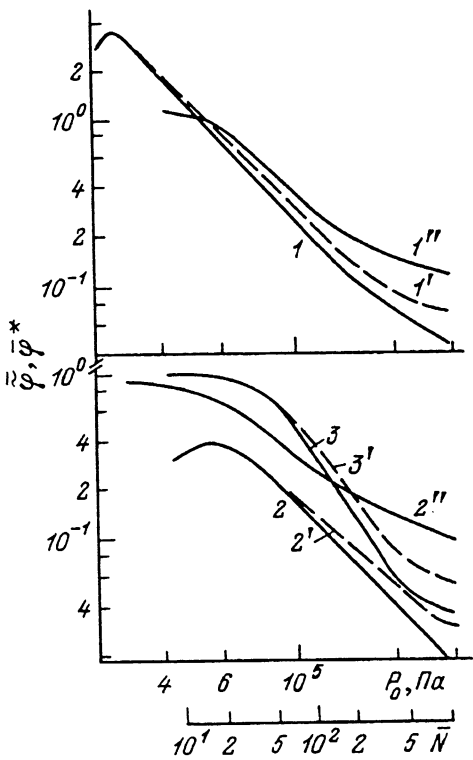


Рис. 4. Зависимости вероятности излучения $\bar{\varphi}$ при возбуждении молекулы в кластере в УФ ($1, 1', 1''$) и видимой ($2, 2', 2''$) областях спектра, вероятности эжекции $\bar{\varphi}^*$ ($3, 3'$) возбужденных частиц из кластеров от P_0 и \bar{N} для N_2O .

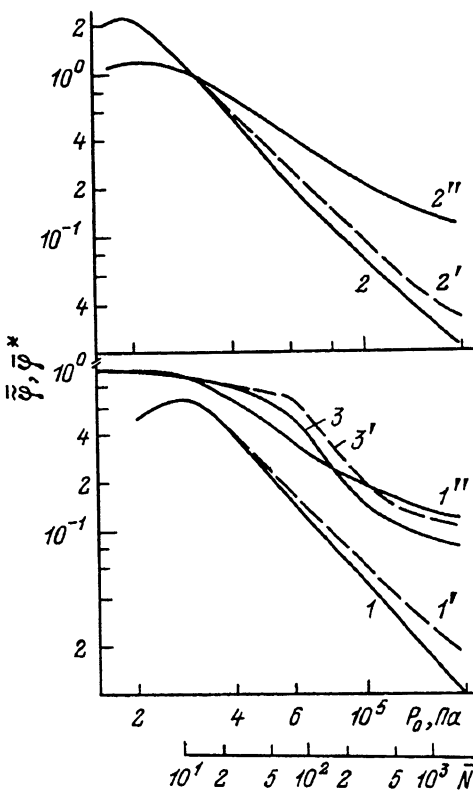


Рис. 5. Зависимости вероятности излучения $\bar{\varphi}$ при возбуждении молекулы в кластере в УФ ($1, 1', 1''$) и видимой ($2, 2', 2''$) областях спектра, вероятности эжекции $\bar{\varphi}^*$ ($3, 3'$) возбужденных частиц из кластеров от P_0 и \bar{N} для CO_2 .

4 на рис. 2). Поскольку в расчете [12] не учитывалось уменьшение плотности в струе на входе в скиммер из-за выделения теплоты конденсации, а также не учитывалось рассеяние молекул пучка на остаточном газе в экспериментальной установке, то кривые $1'-3'$ на рис. 4, 5 соответствуют минимально возможным значениям $\bar{\varphi}(\bar{N})$ и $\bar{\varphi}^*(\bar{N})$. Максимально возможные значения вероятности мы получим, если для области развитой конденсации ($\bar{N} > 10$) пренебрежем вкладом мономерной компоненты пучка в величины $\bar{I}(\bar{N})$ и $\bar{I}^*(\bar{N})$, т. е. в формулах (12) и (13) положим $n_m = 0$. Полученные таким образом зависимости $\bar{\varphi}(\bar{N})$ и $\bar{\varphi}^*(\bar{N})$ приведены на рис. 4, 5 (кривые $1''-3''$). Видим, что даже в этом предельном случае вклад кластеров в электрон-индукционное излучение уменьшается с ростом размера кластеров приблизительно так же, как растет диаметр кластера, т. е. $\bar{\varphi}_v$ и $\bar{\varphi}_{uf} \sim \bar{N}^{-0.5}$. Качественно подобные зависимости $\bar{\varphi}_{uf}$ и $\bar{\varphi}_v$ от \bar{N} имеют место также для кластеров воды (рис. 2, б). Интересно, что минимум на кривой $\bar{I}_{uf}(\bar{N})$ наблюдается при тех же значениях \bar{N} , когда при электронном ударе начиналась эжекция из кластеров микрокластерных ионов $(\text{N}_2\text{O})_2^+$ и $\text{H}^+(\text{H}_2\text{O})_i$ ($i = 1, 2, 3$) [9, 10]. Это связывалось нами с изменением фазового состояния кластеров.

Отметим еще два, на наш взгляд, важных результата. Во-первых, это усиление интенсивности кластерами малого размера ($\bar{N} < 15$) в сравнении с излучением изолированных молекул ($\bar{\varphi}_{uf}(\text{N}_2\text{O}) > 1$ и $\bar{\varphi}_v(\text{CO}_2) > 1$). Скорее всего

этот факт является следствием увеличения сечения возбуждения σ_N в (9) тех электронных состояний молекул, дезактивация которых сопровождается излучением в данной области спектра. Во-вторых, из результатов измерения ВЭУ тока электронно-возбужденных частиц I_α^* и I_\parallel^* установлено, что в кластерах размером $\bar{N} < 100$ электронное возбуждение не сохраняется. Напротив, при $\bar{N} > 100$ наблюдается увеличение тока возбужденных частиц в кластерах.

Заключение

Возвращаясь к проблеме электронно-пучковой диагностики струй с кластерами, отметим следующее. Основной вклад кластеров в интенсивность электрон-индукционной флюоресценции, по-видимому, связан с эжекцией возбужденных частиц из кластеров. Вклад эжектированных частиц в величину полного сигнала быстро уменьшается с ростом размера кластеров. Дополнительное заселение верхних вращательных уровней молекул N_2 , обнаруженнное в [28] при расширении с конденсацией, возможно, является следствием вклада, вносимого в интенсивность излучения эжектируемыми молекулами. Очевидно, что эжектированные в результате электронно-обменного отталкивания молекулы будут иметь собственное распределение по вращательным состояниям, никак не связанное с температурой газа в струе и температурой кластеров.

Попытки определения доли конденсата в струе [5] и пучке [29] из данных измерения интенсивности оптического излучения нельзя считать корректными без введения поправок на размерный эффект вклада кластеров в интенсивность электрон-индукционной флюоресценции. Такие данные для конкретных переходов можно получить, используя методику настоящей работы.

Авторы выражают благодарность за помощь в работе И. В. Самойлову и В. Н. Шустову.

Список литературы

- [1]. Rebrov A. K. // Progress in Astronautics and Aeronautics. 1977. Vol. 51. P. 811—848.
- [2]. Vostrikov A. A., Mironov S. G., Semyachkin B. E. // Fluid Mech. Sov. Res 1982. Vol. 11. P. 98—124.
- [3]. Beylich A. E. // Phys. Fluids. 1971. Vol. 14. P. 898—905.
- [4]. Holland R. J., Xu G. Q., Levkoff J. et al. // J. Chem. Phys. 1988. Vol. 88. P. 7952—7963.
- [5]. Rebrov A. K., Sharafutdinov R. G. // Proc. 15th Intern. Symp. on rarefied gas dynamics. Italy, 1986. P. 109—123.
- [6]. Belikov A. E., Khmel S. Ya., Sharafutdinov R. G. // Book of Abstract of XII Intern. Symp. on molecular beams. Italy, 1989. P. 146—148.
- [7]. Востриков А. А. // ЖТФ. 1984. Т. 54 Вып. 2. С. 327—335.
- [8]. Востриков А. А., Дубов Д. Ю., Предтеченский М. Р. Препринт ИТФ. № 150-86. Новосибирск, 1986. 49 с.
- [9]. Vostrikov A. A., Dubov D. Yu., Gil'yova V. P. // Progress in Astronautics and Aeronautics. 1989. Vol. 117. P. 335—353.
- [10]. Востриков А. А., Дубов Д. Ю., Гилева В. П. // ЖТФ. 1989. Т. 59. Вып. 8. С. 52—56.
- [11]. Востриков А. А., Предтеченский М. Р. // ЖТФ. 1985. Т. 55. Вып. 5. С. 887—896.
- [12]. Востриков А. А., Дубов Д. Ю. Препринт ИТФ. № 112-84. Новосибирск, 1984. 53 с.
- [13]. Герцберг Г. Электронные спектры и строение многоатомных молекул. М.: Мир, 1969. 772 с.
- [14]. Collomon J. H., Creutzberg F. // Phil. Trans. R. Soc. London, 1974. A277. P. 157—189.
- [15]. Казаков В. П., Шарипов Г. Л. Радиолюминесценция водных растворов. М.: Наука, 1986. 136 с.
- [16]. Макаров В. И., Полак Л. С. // ХВЭ. 1970. Т. 4. № 1. С. 3—23.
- [17]. Ридберговские состояния атомов и молекул / Под ред. Р. Стеббинса, Ф. Даннинга. М.: Мир, 1985. 496 с.
- [18]. Vostrikov A. A., Dubov D. Yu. // Contributions of the Symposium on atomic and surface physics / ed. T. D. Mark, F. Howorka. Obertraun (Austria), 1990. P. 437—442.
- [19]. Kondow T., Mitsuke K. // J. Chem. Phys. 1985. Vol. 83. N 5. P. 2612—2613.
- [20]. Nishi N., Shinohara H., Okuyama T. // Book of Abstract of II Symp. "Kinetic mass-spectrometry". Moscow, 1984. P. 10—11.
- [21]. Joppien M., Wormer J., Groteluschen F. et al. // Contributions of Symp. on atomic and surface physics. Austria, 1990. P. 373—376.
- [22]. Верховцева Т. Т., Бондаренко Е. А., Доронин Ю. С. // Сб. науч. тр. "Физика кластеров" /

Под ред. А. А. Вострикова, А. К. Реброва. Новосибирск, 1987. С. 57—64.

- [23]. Kasuya A., Nishina Y. // Contributions of Symp. on atomic and surface physics. Austria, 1990. P. 377—381.
- [24]. Echt O., Sattler K., Recknagel E. // Phys. Lett. 1982. Vol. 90A. P. 185—189.
- [25]. Bottiglioni F., Coutant J., Fois M. // Phys. Rev. 1972. Vol. A6. P. 1830.
- [26]. Vostrikov A. A., Dubov D. Yu. // Book of Abstracts of 17th Intern. Symp. on rarefield gas dynamics. Aachen (FRG), 1990. P. 220—222.
- [27]. Rapp D., Englander-Golden P. // J. Chem. Phys. 1965. Vol. 43. P. 1464—1479.
- [28]. Карелов Н. В., Ребров А. К., Шарафутдинов Р. Г. // ЖПМТФ. 1978. № 3. С. 3—10.
- [29]. Беликов А. Е., Хмель С. Я. // Изв. СО АН СССР (Техн. науки). 1990. Вып. 1. С. 84—90.

Институт теплофизики СО РАН Новосибирск

Поступило в редакцию
18 декабря 1990 г.